

二元位相型菲涅尔透镜列阵器件 的研制及其应用实验

郭 晴 王汝笠 郭中原 陈高峰 傅艳红 王 君

(中国科学院上海技术物理研究所,青年光电工程研究中心,上海 200083)

摘要 详细介绍了二元位相型菲涅尔透镜列阵器件(BPFLAs)的设计原理、制作过程和测试方法,研制了 24×24 元 8 阶 BPFLAs,对 $0.84\mu\text{m}$ 波长的焦距为 46.5mm,单元尺寸为 $1.5 \times 1.5\text{mm}^2$,衍射效率达 77.3%。有关应用实验表明,该器件具有平行光分束、多路成像及傅里叶变换功能,在列阵发光器件的光学准直,光学相关器等方面有广泛的应用前景。

关键词 位相型, 菲涅尔透镜, 列阵。

引言

二元位相型菲尔透镜列阵器件(BPFLAs)是二元光学研究的重要内容之一。BPFLAs 是根据菲涅尔波带片的近轴衍射原理设计掩模图形,以制作大规模集成电路的工艺方法经制版、光刻、离子束刻蚀等过程完成器件制作的。美国 MIT 林肯实验室和 AT&T 贝尔实验室率先开展了该器件的研制工作。1988 年,林肯实验室报道了用离子束刻蚀方法在石英基片上制作 1×7 元 4 阶位相型菲涅尔透镜线阵,透镜 F 数为 $f/2$,衍射效率 71%;1990 年,该实验室又以同样的方法制作了 6,000 元 8 阶 BPFLAs,透镜 F 数为 $f/5$,衍射效率 84%;1984 年林肯实验室以薄膜淀积的方法在石英基片上淀积 SiO 制作了 10×10 元 8 阶 BPFLAs,透镜 F 数为 $f/31$,衍射效率 91%;1990 年,他们分别以离子束刻蚀和薄膜淀积(淀积 Si_3N_4)的方法制作了 8×8 元 2 阶 BPFLAs,透镜 F 数为 $f/16.7$,衍射效率 31%。我们于 1992 年在 $\Phi 51 \times 0.8\text{mm}$ 石英基片上以离子束刻蚀的方法研制成功 24×24 元 8 阶 BPFLAs,透镜 F 数为 $f/31$,衍射效率 77.3%,用该器件进行平行光分束、多路成像、傅里叶变换等实验,效果优良。

1 设计原理

1.1 FZP 的衍射场分布

二元位相型菲涅尔透镜列阵(BPFLAs)的设计依据是菲涅尔波带片(FZP)的近轴衍射

原理. 菲涅尔波带片是一系列明暗相间的同心圆组成的周期性图形, 当以波长为 λ 的平面波照射 FZP 时, 将发生衍射并在其中心轴上产生多个会聚点.

假设 FZP 的复振幅透过率为 $g(x, y)$, 由于径向对称, 有

$$g(x, y) = g(x^2 + y^2) = g(r^2). \quad (1)$$

以傅里叶级数表示式(1), 有

$$g(r^2) = \sum_{n=-\infty}^{\infty} A_n \exp(\pi i n \frac{r^2}{r_1^2}), \quad (2)$$

$$A_n = \frac{1}{2r_1^2} \int_0^{2r_1^2} g(r^2) \exp(-\pi i n \frac{r^2}{r_1^2}) d(r^2). \quad (3)$$

当以波长为 λ 的平面波照射时, 在 FZP 之后 $Z > 0$ 的任意平面上衍射光场分布为

$$U(x', y', z) = \iint g(x, y) \exp\left\{\frac{i\pi}{\lambda Z} [(x - x')^2 + (y - y')^2]\right\} dx dy. \quad (4)$$

式(4)略去了次要因子 $\exp(ikz)/ikz$. 将式(2)代入(4), 得

$$\begin{aligned} U(x', y', z) = & \sum_{n=-\infty}^{\infty} A_n \exp\left[\frac{i\pi}{\lambda Z} (x'^2 - y'^2)\right] \iint \exp\left[\pi i \left(\frac{n}{r_1^2} + \frac{1}{\lambda Z}\right) (x^2 + y^2)\right] \\ & \cdot \exp\left[-2\pi i \left(\frac{xx' + yy'}{\lambda Z}\right)\right] dx dy. \end{aligned} \quad (5)$$

显然, $\frac{n}{r_1^2} + \frac{1}{\lambda Z} = 0$ 时, $U(x', y', z)$ 取极值, 即 $Z = Z_n$ 是 FZP 的焦平面, 有

$$Z_n = \frac{-r_1^2}{\lambda n}. \quad (6)$$

焦面的光场分布为

$$U(x', y', Z_n) = A_n \exp\left[\frac{i\pi}{\lambda Z_n} (x'^2 + y'^2)\right] \delta\left(\frac{x'}{\lambda Z_n}, \frac{y'}{\lambda Z_n}\right) + \sum_{m \neq n} B_m. \quad (7)$$

如果 FZP 是边长分别为 a, b 的矩型, 那么式(7)可写为

$$U(x', y', Z_n) = A_n \exp\left[\frac{i\pi}{\lambda Z_n} (x'^2 + y'^2)\right] \text{sinc}\left(\frac{x' a}{\lambda Z_n}, \frac{y' b}{\lambda Z_n}\right) + \sum_{m \neq n} B_m. \quad (8)$$

式(8)中, $m \neq n$ 的和项代表衍射到其它平面 $Z = Z_m$ 上的波函数, 而在 $Z = Z_n$ 焦平面上的最大复振幅为 A_n . 由此可见, FZP 的透过率函数 $g(r^2)$ 的第 n 级傅里叶变换系数 A_n 即为第 n 级焦点上的复振幅.

1.2 衍射效率 η

FZP 的振幅透过率函数 $g(r^2)$ 如图 1 所示. 由

$$g(r^2) = \sum_{m=0}^{M/2} \text{rect}\left(\frac{r^2 - 2mr_1^2 - r_1^2/2}{r_1^2}\right), \quad (9)$$

将 $g(r^2)$ 展开为傅里叶级数，并取规范化周期 $2r_1^2=1$ ，则由式(3)可得

$$A_n = \frac{1 - \cos(n\pi)}{2n\pi}. \quad (10)$$

第一焦点复振幅为 $A_{-1} = \frac{1}{\pi}$ ，衍射效率为 $\eta = |A_{-1}|^2 = 10\%$.

现在以 $r^2 = 2r_1^2$ 周期，对 $g(r^2)$ 作 L 级次的等位相量化如图 2，有

$$g(r^2) = \sum_{k=0}^{N(L-1)} \exp\left(-\frac{2\pi i k}{L}\right) \text{rect}\left(\frac{r^2 - kr_p^2/L - r_p^2/2L}{r_p^2/L}\right). \quad (11)$$

由式(3)计算可得

$$A_n = \exp\left(\frac{i\pi n}{L}\right) \sin c\left(\frac{n}{L}\right) \frac{1}{L} \sum_{k=0}^{(L-1)} \exp\left[\frac{2\pi i k(n+1)}{L}\right], \quad (12)$$

$$A_{-1} = \sin c\left(\frac{1}{L}\right) = \frac{\sin(\pi/L)}{\pi L}, \quad (13)$$

$$\eta = |A_{-1}|^2 = \left[\frac{\sin(\pi/L)}{\pi L}\right]^2. \quad (14)$$

式(14)表明，二元位相型菲涅尔透镜的衍射效率 η 随量化级次的增加而提高，如图 3 所示，显然，位相型 BPFLAs 较之于振幅型 FZP 的衍射效率要高得多。综合考虑刻制步骤和衍射效率之关系，以 8 级位相量化为最佳选择。

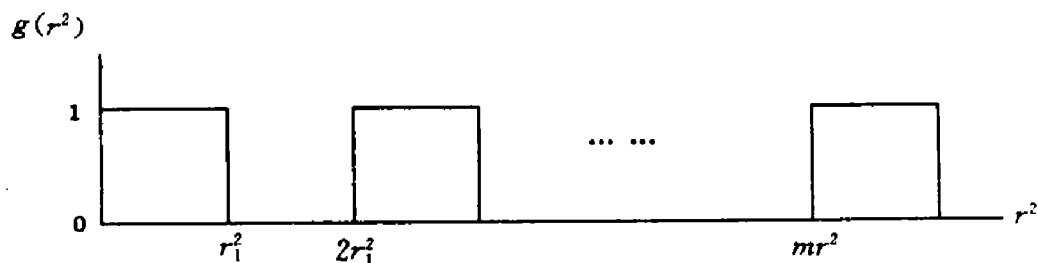


图 1 菲涅尔波带片的透过率函数

Fig. 1 Transmission function of FZP

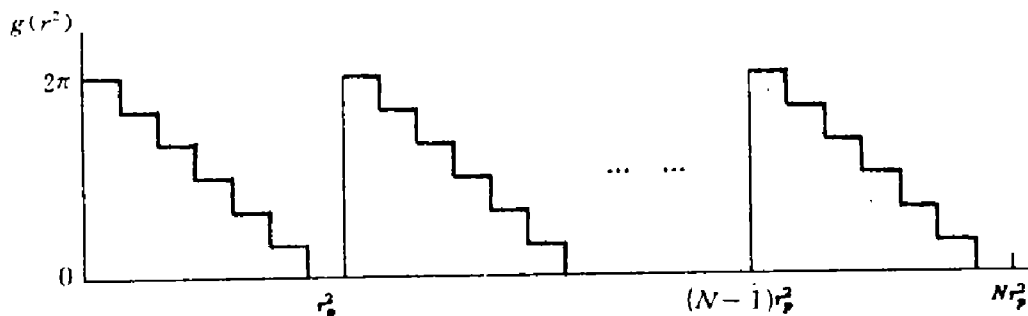


图 2 菲涅尔波带片位相量化示意图

Fig. 2 Schematic diagram of FZP with a quantized phase profile

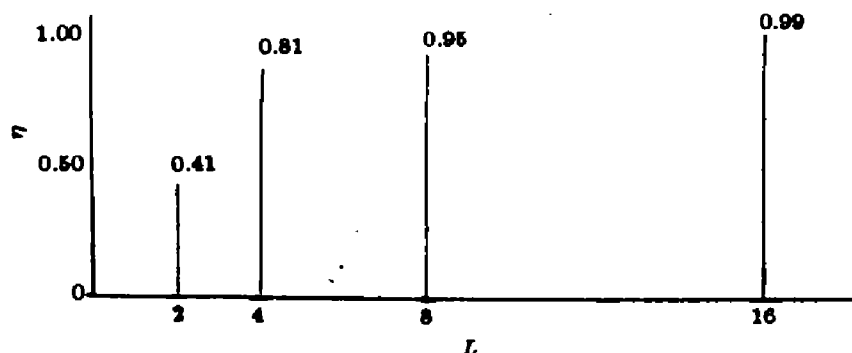


图 3 位相型菲涅尔透镜的衍射效率

Fig. 3 Diffractive efficiency of phase-only Fresnel lens

2 制作过程

二元菲涅尔透镜的设计是由计算机完成的。根据使用波长、焦距、孔径和要求的量化级次，设计 K 个振幅型掩模，经多次光刻和离子束刻蚀，最终完成 BPFLAs 制作。工作流程如图 4。

对于使用波长 λ 、焦距为 f 、边长为 a 的方形小透镜列阵，其半径周期为

$$r_p^2 = 2\lambda f. \quad (15)$$

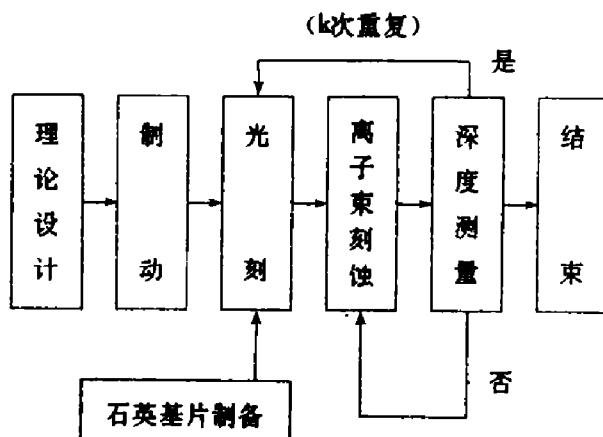


图 4 制作 BPFLAs 的流程图

Fig. 4 Flow chart of making BPFLAs

式(15)表明，对于特定的半径结构，波长与焦距成反比，因此衍射透镜与折射透镜的色散性质相反，在光学系统中适当地使用衍射透镜可有效地改善系统像差。波带周期数为

$$N = \frac{a}{8\lambda f}, \quad (16)$$

最细条纹结构为

$$\omega = \frac{r_p}{2L\sqrt{N}}, \quad (17)$$

定义透镜 F 数为焦距与孔径之比，即

$$F/\# = \frac{r_p^2/2\lambda}{2\sqrt{N}r_p} = \frac{r_p}{4\sqrt{N}\lambda}, \quad (18)$$

所以有

$$\omega = \frac{2\lambda F/\#}{L}. \quad (19)$$

式(19)表明,波长越短,焦距越短,条纹结构越细.制作工艺限制了透镜的 F 数,从而限制了 BPFLAs 的各项性能参数.图 5 为制作 BPFLAs 的掩模图形的局部.

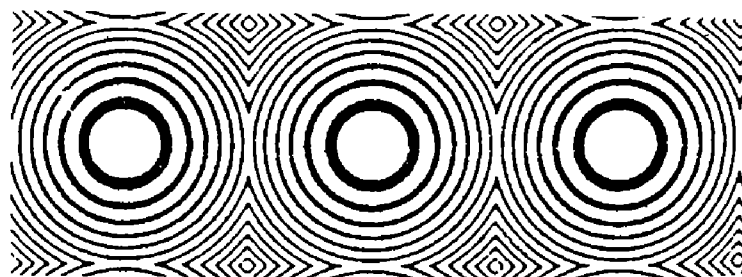


图 5 制作 BPFLAs 的掩模图形之一

Fig. 5 one of the potomask for making BPFLAs

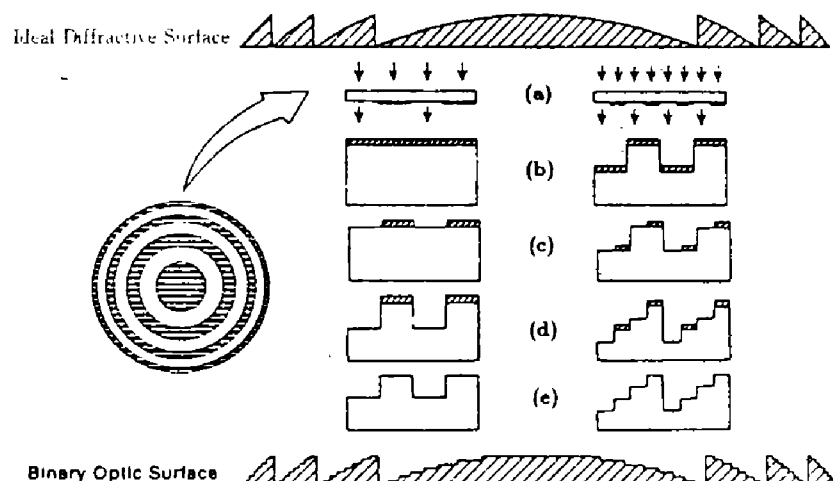


图 6 制作 BPFLAs 的过程示意图

Fig. 6 schematic diagram of producing BPFLAs

制作二元位相型菲涅尔透镜列阵过程如图 6.首先在石英基片上涂镀光刻胶,以第一块掩模板图形光刻和显影,然后进行离子束刻蚀,深度光程为半波长,最后清除剩余光刻胶,获得 2 阶位相结构.重复上述步骤,以第二、第三块掩模对准套刻,则可制成 4 阶、8 阶的二元位相型菲涅尔透镜列阵.

以这种方法制作多位相型菲涅尔透镜的特点是,对于 $L=2^k$ 的量化级次,需要进行 K 次刻蚀.位相步长 $2\pi/L$,第一次刻蚀深度产生 π 位相差,以后的深度逐次减半为

$$d_i = \frac{\lambda}{2^k(n-1)}. \quad (20)$$

制作多位相级菲涅尔透镜列阵的关键在于多次光刻的精确套准.

我们在 2 英寸石英基片上刻制了 24×24 元 8 阶位相型菲涅尔透镜列阵,每一小透镜为 $1.5\text{mm} \times 1.5\text{mm}$ 矩孔,其局部放大结构如图 7.经台阶仪测量,刻蚀深度误差约为 12.5%.

3 器件测试

3.1 焦面特性

以相干平行光照射二元位相型菲涅尔透镜列阵,可在其后焦面上获得强度均匀的点阵,如图 8。各焦点强度分布如图 9,焦点强度不均匀性约为 1.6%。光学传函仪测出的焦点强度分布曲线如图 10,相对强度大于 50% 的点宽度约为 $12\mu\text{m}$ 。

3.2 衍射效率

二元位相型菲涅尔透镜列阵衍射效率的测量原理装置如图 11。以单色平面波照射 BPFLAs, 测量其后焦面上的衍射强度。首先测得焦点间的背景强度 I_a , 然后移去 BPFLAs, 插入相应的石英基片, 以补偿反射损失, 在原焦面位置测初始强度 I_b , 结果如图 12。

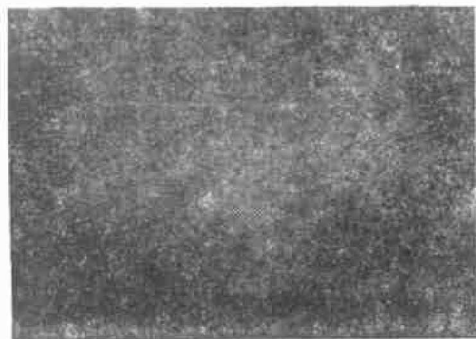


图 7 八阶 BPFLAs 局部

Fig. 7 Part of the BPFLAs with
eight discrete phase levels

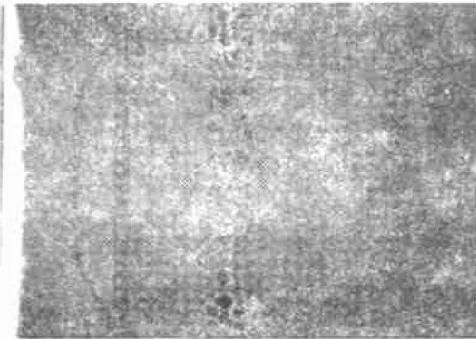


图 8 24×24 均匀点阵

Fig. 8 24×24 spots arrays



图 9 焦点强度分布图

Fig. 9 Intensity distribution
pattern of the focal spot

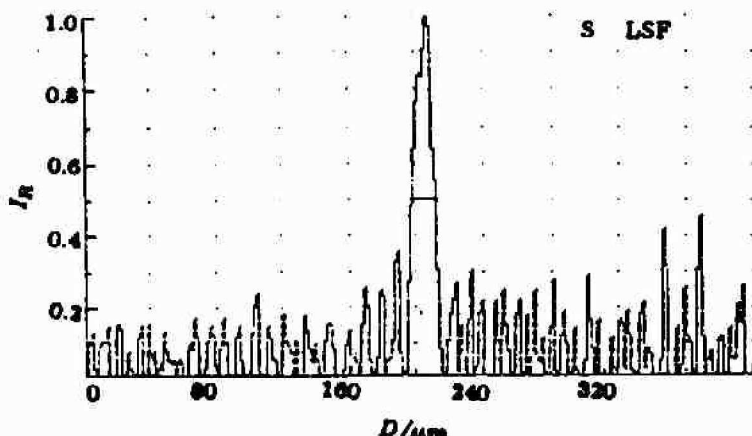


图 10 焦点强度分布曲线

Fig. 10 Intensity distribution function of the focal spot

衍射效率由下式计算:

$$\eta = \frac{I_a - I_b}{I_a}. \quad (21)$$

我们研制的 8 阶菲涅尔透镜列阵的实测衍射效率为 77.3%, 刻制过程中的套准误差和深度

误差是导致实际衍射效率低于理论值的主要原因。

4 应用实验

4.1 平行光分束

BPFLAs 可用于单色平行光分束。当分别以 AlGaAs/GaAs 半导体激光器和发光二极管作为照明光源时，可在 BPFLAs 后焦面上产生等光强点阵，如图 13 和 14。由于发光二极管的发射波段较宽，形成的焦点有弥散。

4.2 多重成像

BPFLAs 可对输入图形实现多重成像，以发光二极管作为照明光源时的成像效果如图 15。实验证明，对于频率不太高的输入图形，BPFLAs 可在较宽波段范围成像。

4.3 多路光相关处理

BPFLAs 用于多路光相关处理的实验光路如图 16。图中 L_1 是傅里叶透镜，输入图形置于 L_1 前焦面 P_1 ，相应的匹配滤波器 MF 置于 L_1 后焦面，BPFLAs 紧贴 MF，对相关处理后的频谱实现逆傅里叶变换，CCD 在 BPFLAs 后焦面接收相关峰。

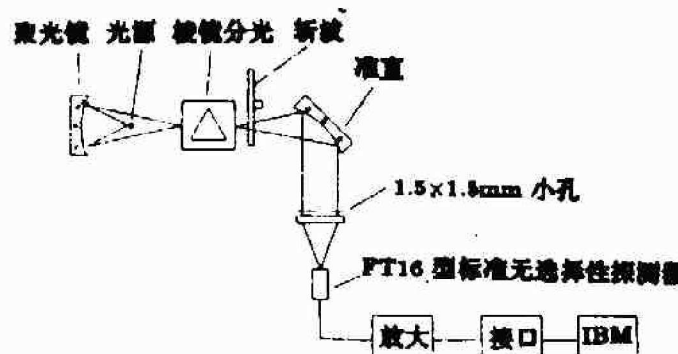


图 11 测量原理图

Fig. 11 Schematic diagram of measurement

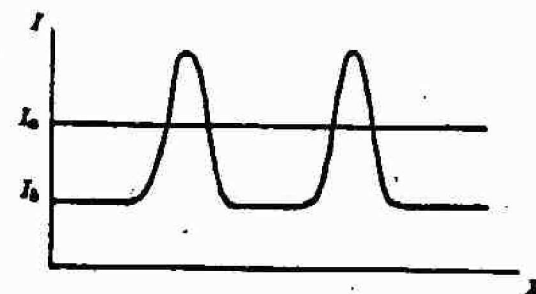


图 12 BPFLAs 焦面衍射强度示意图

Fig. 12 Schematic diagram of diffractive intensity on the BPFLAs focal plane

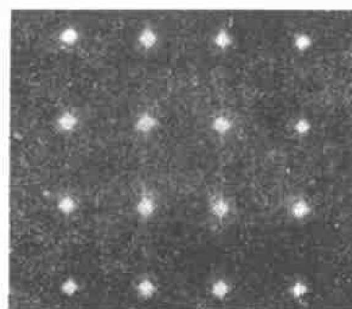


图 13 LD 的点阵
Fig. 13 Spots array of LD

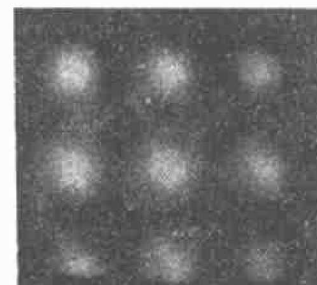


图 14 LED 的点阵
Fig. 14 Spots array of LED

我们选择了其中一路进行光相关实验，如图 17。输入 F-16 飞机图形，频谱面放置相应的位相匹配滤波器，输出结果如图 18。图 18 中心为零级衍射与输入相关的结果，边缘 4 点

为一级衍射与输入的相关峰。实验表明, BPFLAs 可有效地应用于多路光学相关器系统, 由于其独具的设计与制作优势, 为光学相关器向小体积、大容量发展提供了可能。BPFLAs 的平面性和焦面一致性还为光学调校提供了很大的方便。

5 结论

二元位相型菲涅尔透镜列阵器件(BPFLAs)是衍射光学理论与大规模集成电路制造工艺相结合的产物。BPFLAs 是一种新型的微光学器件, 具有体积小、重量轻、设计与制作精确、集成度高的特点, 在平行光分束、多路成像和傅里叶变换等方面有优良的光学性能。由于色散反常, 该器件还可用于折射光学系统的像差校正, 提高系统分辨率。

BPFLAs 的结构参数及光学性能完全受器件制作工艺的限制, 随着微电子技术的发展, BPFLAs 制作技术将不断提高, 其应用前景也将日益广阔。

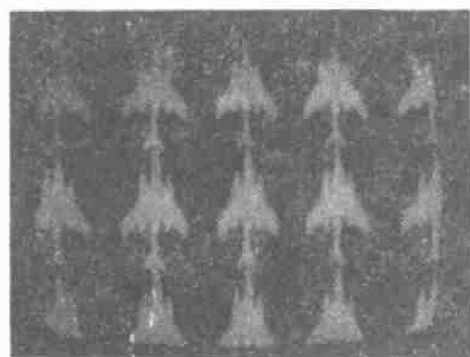


图 15 LED 成像

Fig. 15 Imaging by LED illumination

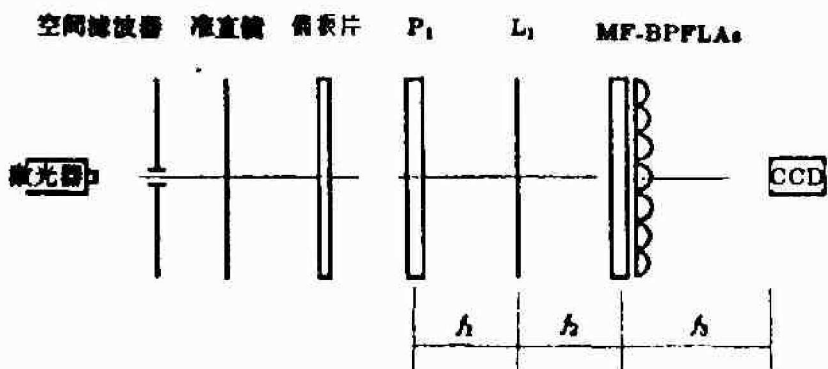


图 16 3f 多路光相关系统

Fig. 16 3f multiple optical correlating system

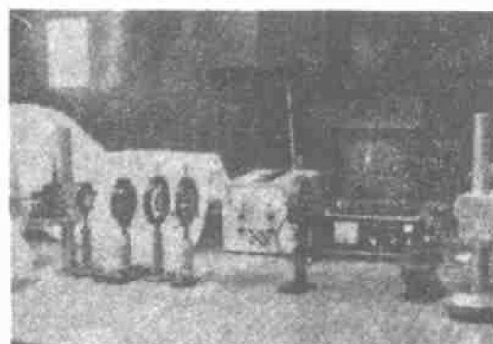


图 17 光相关实验装置

Fig. 17 Experimental device for optical correlation



图 18 输出结果

Fig. 18 Output results

参考文献

- 1 James R. Lgegr, Miles L. Scoot. *SPIE*, 1988, **884**: 82~89
- 2 William Goltsos, Michael Holz. *Optical Engineering*, 1990; vol. **29**: 1392~1397
- 3 Jurgen Jahns, Susan J. Walker, *Applied Optics*, 1990, **29**, 931~936
- 4 Kasra Rastani, Abdellatif Marrakchi. *Applied Optics*, 1991, **30**, 1347~1354

DEVELOPMENT AND APPLICATION EXPERIMENTS ON BINARY PHASE-ONLY FRESNEL LENS ARRAYS

Guo Qing Wang Ruli Guo Zhongyuan
Chen Gaofeng Fu Yanhong Wang Jun

(*Optoelectronic engineering Research center, Shanghai Institute of Technical Physics,
Chinese Academy of Sciences, Shanghai 200083, China*)

Abstract The design principle, manufacture process and the measurement method for binary phase-only Fresnel lens arrays (BPFLAs) are given. The 24×24 array of BPFLAs with eight discrete phase levels has been made. The size of each individual lenslet is $1.5 \times 1.5\text{mm}^2$. For $0.84\mu\text{m}$ wavelength, the focal length is 46.5mm and the diffraction efficiency is over 77.3%. The experiments show that this device has the functions of beamsplitter, multiple imaging and multiple Fourier transformation. It has vast application prospects in array collimation and optical correlator.

Key words phase-only, Fresnel lens, array.